

**PQI – 3303 – Fenômenos de Transporte III – 2020**  
**DEPARTAMENTO DE ENGENHARIA QUÍMICA DA EPUSP**

**Modelos Para os Coeficientes Convectivos de Transporte de Massa**

Correlações para o cálculo de coeficientes de transporte de massa são obtidas da analogia direta com os fenômenos de transferência de calor, principalmente no caso do escoamento turbulento.

**1. Escoamento Turbulento**

O estudo dos escoamentos turbulentos é efetuado com base nos Modelos de Turbulência desenvolvidos na Mecânica dos Fluidos.

Os mecanismos moleculares (difusivos) e os associados à turbulência (p. e. difusividade turbilhonar) definem o transporte de massa em superfícies e interfaces.

Analisemos o chamado perfil de velocidades universal, no caso do escoamento praticamente paralelo e próximo a uma parede fixa (vide figura 1). Subdivide-se a região em três zonas: a subcamada viscosa (ou laminar), localizada junto à parede, onde praticamente inexiste turbulência; a região turbulenta, distante da parede, onde predomina o transporte turbulento; e a zona de amortecimento, intermediária entre as duas anteriores, onde os dois mecanismos de transporte devem ser considerados.

Os fluxos de massa, calor e quantidade de movimento, na direção  $y$ , são expressos por:

$$\begin{aligned} n_A &= -(D_{AB} + \varepsilon_D) \frac{d\rho_A}{dy} \\ q'' &= -(\alpha + \varepsilon_H) \frac{d(\rho C_p T)}{dy} \\ \tau &= -(v + \varepsilon_V) \frac{d(\rho v)_x}{dy} \end{aligned} \quad (1)$$

onde  $\varepsilon_D$ ,  $\varepsilon_H$  e  $\varepsilon_V$  são as difusividades turbilhonares.

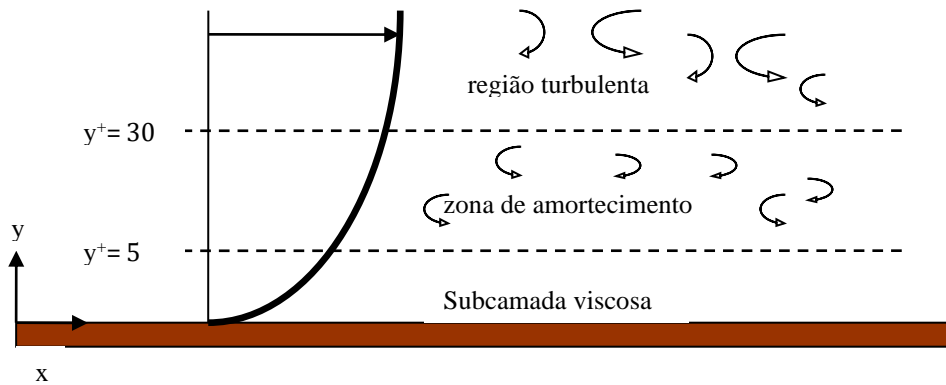
As zonas são delimitadas pelos parâmetros adimensionais  $y^+$ , e a velocidade  $u^+$ , definidos por:

$$y^+ = \frac{u_0 y}{\nu} \quad (2)$$

$$u^+ = \frac{v_x}{u_0} \quad (3)$$

onde  $u_0$  é a velocidade de atrito ("drift"), definida a partir da tensão de cisalhamento  $\tau_0$  na parede:

$$u_0 = \sqrt{\frac{\tau_0}{\rho}} \quad (4)$$



**Figura 1 - Perfil de velocidades universal.**

A tabela 1 apresenta as equações para o perfil de velocidades universal, para cada uma das zonas, segundo von Kármán (1939).

**Tabela 1 - Perfil de velocidades universal.**

subcamada viscosa	$u^+ = y^+$	$0 < y^+ < 5$
zona de amortecimento	$u^+ = 5 \ln y^+ - 3,05$	$5 < y^+ < 30$
região turbulenta	$u^+ = 2,5 \ln y^+ + 5,5$	$y^+ > 30$

As diferentes analogias, a seguir apresentadas, foram desenvolvidas com base na interpretação do perfil de velocidade universal.

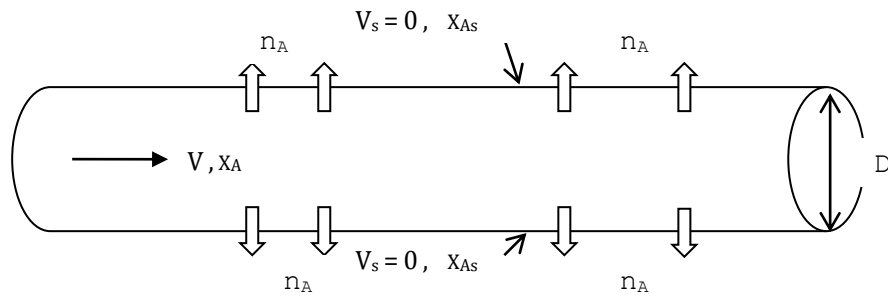
**2. Analogias**

**2.1 Analogia de Reynolds**

Trata-se de modelo desenvolvido com base experimental, no qual Reynolds considerou a turbulência como o único mecanismo determinante dos transportes de calor, massa e quantidade de movimento.

Considere o escoamento de um fluido no interior de um tubo, de diâmetro D, em regime turbulento, e com transporte de massa. A velocidade média de escoamento é V, a fração mássica do constituinte A no seio do fluido é  $x_A$  e na parede  $x_{AS}$  (constante). Especificam-se os seguintes fluxos macrocópicos de transporte de massa e quantidade de movimento:

A	$n_A$	Fluxo de A na direção da parede
B	$\tau$	Fluxo de quantidade de movimento na direção da parede
C	$\rho V (x_A - x_{AS})$	Fluxo de A na direção do escoamento
D	$\rho V (V - V_s)$	Fluxo de quantidade de movimento na direção do escoamento



**Figura 2 - Analogia de Reynolds**

A analogia proposta por Reynolds é expressa pela relação:

$$\frac{A}{C} = \frac{B}{D} \Rightarrow \frac{n_A}{\rho V (x_A - x_{AS})} = \frac{\tau}{\rho V (V - V_s)} \quad (5)$$

Das definições do coeficiente convectivo de transporte de massa e do fator de atrito, tem-se:

$$n_A = k_x (x_A - x_{AS}) \quad (6)$$

$$\tau = \frac{f}{2} \rho V^2 \quad (7)$$

Substituindo-se na equação (5), tem-se:

$$\frac{k_x (x_A - x_{AS})}{\rho V (x_A - x_{AS})} = \frac{f}{2} \Rightarrow k_x = \frac{f}{2} \rho V \quad (8)$$

A equação acima permite o cálculo do coeficiente convectivo de transporte de massa  $k_x$ , exclusivamente a partir do fator de atrito no escoamento considerado! Analogamente, no caso do transporte de calor, tem-se:

$$h = \frac{f}{2} \rho C_p V \quad (9)$$

Os resultados podem ser expressos em termos dos adimensionais de Stanton:

$$St = \frac{k_x}{\rho V} = \frac{k_p}{V} = \frac{f}{2} \quad (10)$$

$$St = \frac{h}{\rho C_p V} = \frac{f}{2}$$

Reescrevendo-se a analogia de Reynolds, sendo  $k_x = k_p / \rho$ , tem-se:

$$k_p = \frac{f}{2} V \Rightarrow k_p \frac{D}{D_{AB}} = \frac{f}{2} V \frac{D}{D_{AB}} \frac{v}{v} \Rightarrow \frac{k_p D}{D_{AB}} = \frac{f}{2} \frac{VD}{v} \frac{v}{D_{AB}}$$

$$\boxed{Sh = \frac{f}{2} Re Sc} \quad (11)$$

A analogia de Reynolds é bastante adequada para situações onde  $Sc \rightarrow 1$ .

## 2.2. Analogia de Prandtl - Taylor

Numa sofisticação da analogia de Reynolds, Prandtl considerou os mecanismos de transporte referentes à subcamada viscosa, definido pela difusão molecular, e a região turbulenta, segundo a analogia de Reynolds. A equação resultante é expressa por:

$$\boxed{Sh = \frac{(f/2)ReSc}{1 + 5\sqrt{f/2}(Sc - 1)}} \quad (12)$$

## 2.3. Analogia de Von Kármán

Von Kármán, por sua vez, estendeu a analogia de Prandtl, incluindo a zona de amortecimento no modelo, resultando na equação abaixo:

$$\boxed{Sh = \frac{(f/2)ReSc}{1 + 5\sqrt{f/2}\{Sc - 1 + \ln[(1 + 5Sc)/6]\}} \quad (13)$$

## 2.4. Analogia de Colburn

Colburn desenvolveu um analogia semi-empírica a partir da de Prandtl e de extensa compilação de dados experimentais de transferência de calor e massa. Esta analogia é bastante empregada para os casos de escoamentos em tubos e placas. Sem dúvida, é a mais conhecida analogia para transferência de calor. Expressa-se em termos dos fatores  $j_H$  (p/ transferência de calor) e  $j_m$  (transferência de massa):

$$\boxed{\frac{Sh}{ReSc^{1/3}} = j_M} \quad \boxed{\frac{Nu}{RePr^{1/3}} = j_H} \quad \boxed{j_H = j_M = \frac{f}{2}} \quad (14)$$

$$\boxed{Sh = \frac{f}{2} ReSc^{1/3}} \quad (15)$$

É interessante observar que para  $Sc \rightarrow 1$  todas as analogias recaem na de Reynolds.

## 3. Modelos de para Coeficientes de Transporte de Massa

### 3.1. Modelo do Filme

No modelo do filme proposto por Lewis e Whitman (1929), assume-se a existência de um filme estagnado no meio estagnado, próximo à interface/superfície, no qual o transporte de massa ocorre por difusão. Fora do filme, no meio fluido, a concentração da espécie é admitida como constante.

Assim, da equação de conservação para o constituinte A, admitindo-se o filme estagnado, regime permanente, densidade constante, unidimensional e ausência de reação química, tem-se, na direção y:

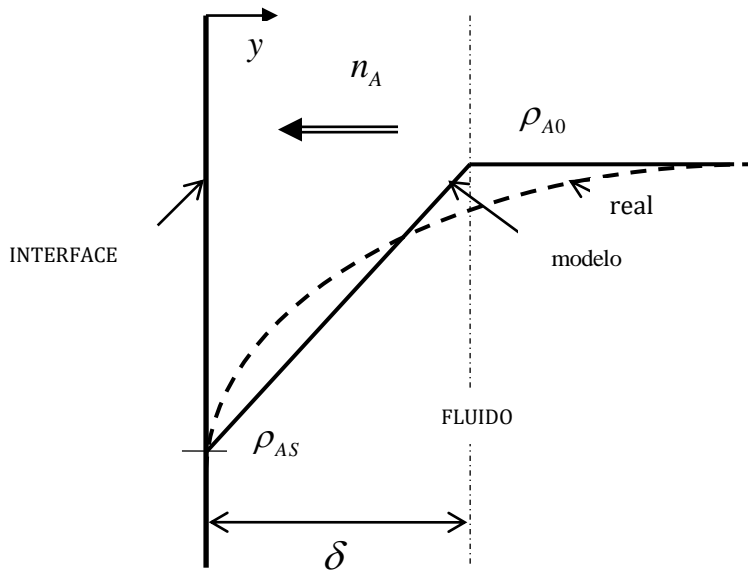


Figura 3 - Modelo do Filme

$$D_{AB} \frac{d^2 \rho_A}{dy^2} = 0 \tag{16}$$

E as condições de contorno são expressas por:

$$\begin{cases} y = 0, \rho_A = \rho_{AS} \\ y = \delta, \rho_A = \rho_{A0} \end{cases}$$

O perfil de concentrações obtido da integração da equação (16) é expresso por:

$$\rho_A = \left( \frac{\rho_{A0} - \rho_{AS}}{\delta} \right) y + \rho_{AS} \tag{17}$$

No caso diluído:

$$n_A \cong j_A = -D_{AB} \left( \frac{d\rho_A}{dy} \right)_{y=0} = -D_{AB} \left( \frac{\rho_{A0} - \rho_{AS}}{\delta} \right) \tag{18}$$

da definição de  $k_\rho$ ,  $n_A = k_\rho (\rho_{A0} - \rho_{AS})$ , resulta:

$$\boxed{k_\rho = \frac{D_{AB}}{\delta}} \tag{19}$$

A espessura do filme  $\delta$  expressa a influência do escoamento no transporte de massa, mas não é determinado à priori. Este modelo, apesar de frágil do ponto de vista físico, é frequentemente empregado, principalmente no caso de alto transporte de massa e em sistemas com reação química.

### 3.2. Modelo de Higbie

Consideremos o processo de transferência de massa na fase líquida e na interface em contato com uma fase gasosa. O modelo Higbie (1935) - teoria da penetração - considera que pequenas porções do líquido são transportadas continuamente do seio do líquido para a interface, permanecendo em contato com a fase gás, durante um tempo,  $\theta$ , no qual ocorre a transferência de massa por difusão, e depois são transportados para o seio do líquido.

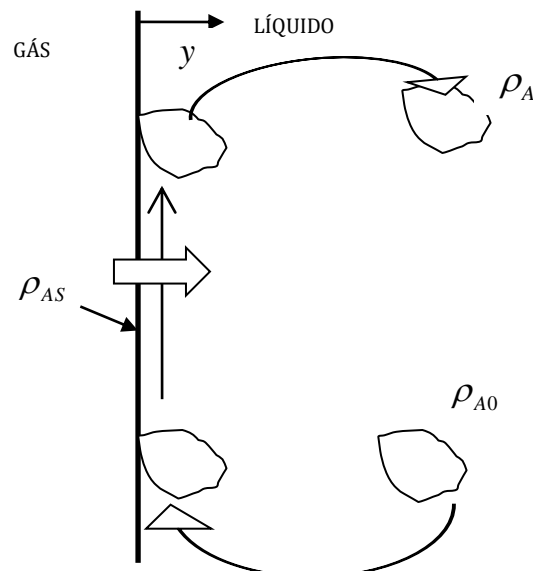


Figura 4 - Modelo de Higbie

Devido ao escoamento turbulento, o turbilhão deixa o meio líquido com concentração  $\rho_{A0}$  e atinge a superfície onde ocorre a difusão de A, cuja concentração na interface é  $\rho_{AS}$ . Decorrido o tempo de contato a porção de fluido retorna ao meio fluido com uma concentração média  $\rho_A$ . Equacionando-se esta descrição lagrangeana, tem-se para a porção de fluido:

$$\frac{D\rho_A}{Dt} = D_{AB} \frac{d^2\rho_A}{dy^2} \quad (20)$$

Com as seguintes condições de contorno e inicial:

$$\begin{cases} t = 0, \rho_A = \rho_{A0} \\ t > 0 \begin{cases} y = 0, \rho_A = \rho_{AS} \\ y = \infty, \rho_A = \rho_{A0} \end{cases} \end{cases}$$

A última condição é válida para o caso de baixo tempo de contato, o que de fato se observa na maioria dos casos.

Da integração da equação (20) resulta a seguinte expressão para o perfil de concentração:

$$\frac{\rho_{AS} - \rho_A}{\rho_{AS} - \rho_{A0}} = \operatorname{erf} \frac{y}{2\sqrt{t} D_{AB}} \quad (21)$$

Onde a função erf é definida por:

$$\operatorname{erf} \frac{y}{2\sqrt{t} D_{AB}} = \frac{2}{\sqrt{\pi}} \int_0^{\frac{y}{2\sqrt{t} D_{AB}}} e^{-n^2} dn \quad (22)$$

Assim, para o fluxo de transporte de massa instantâneo na interface, no caso diluído, tem-se:

$$n_{A,y=0} \cong j_{A,y=0} = -D_{AB} \left( \frac{d\rho_A}{dy} \right)_{y=0} = (\rho_{AS} - \rho_{A0}) \sqrt{\frac{D_{AB}}{\pi t}} \quad (23)$$

O fluxo de transporte de massa médio é calculado, considerando-se o tempo de contato  $\theta$ , pela equação:

$$\bar{n}_A = \frac{\int_0^\theta n_A dt}{\theta} = \frac{(\rho_{AS} - \rho_{A0})}{\theta} \sqrt{\frac{D_{AB}}{\pi}} \int_0^\theta \frac{dt}{\sqrt{t}} = 2(\rho_{AS} - \rho_{A0}) \sqrt{\frac{D_{AB}}{\theta \pi}} \quad (24)$$

Resultando, para o coeficiente de transporte:

$$k_\rho = 2 \sqrt{\frac{D_{AB}}{\theta \pi}} \quad (25)$$

O tempo de contato  $\theta$  expressa a influência do escoamento no transporte de massa.

Comparando-se o modelo do filme e o de Higbie tem-se, respectivamente,  $k_p \propto D_{AB}$  e  $k_p \propto D_{AB}^{0.5}$ . Experimentalmente observam-se resultados cujo expoentes da difusividade encontra-se entre os dois valores especificados.

O modelo de Higbie foi originalmente concebido para o transporte de massa de bolhas de gás em meio líquido, sendo o tempo de contato estimado com base no tempo decorrido para a bolha percorrer uma distância igual ao seu diâmetro.

### 3.3. Modelo de Danckwerts

Uma elegante sofisticação do modelo de Higbie foi proposta por Danckwerts em 1953, que sugeriu um modelo de renovação de superfície no qual propõe-se uma distribuição de idades para o tempo de contato de cada porção de líquido.

Neste modelo, admite-se que a probabilidade de uma porção deixar a superfície é independente do tempo no qual ela já está na mesma. A equação abaixo expressa o resultado para o coeficiente de transporte em função do parâmetro  $s$ , que é a fração da taxa de substituição da porção de líquido.

$$k_p = \sqrt{s D_{AB}} \quad (26)$$

O expoente da difusividade é o mesmo que o do modelo de Higbie.